石墨相氮化碳/三聚氯氰复合光催化剂的 制备及其光催化活性

张晓楠 孙玉东 李乃瑄* (天津理工大学化学化工学院 天津 300384)

摘 要 研制了一种石墨相氮化碳/三聚氯氰(g- $C_3N_4/C_3Cl_3N_3$)复合型光催化剂。由于该催化剂在g- C_3N_4 的基础上有效拓展了 π 共轭体系,同时引入氯原子,使带隙位置上移,改善了光生电荷的还原能力,在可见光照射下,能有效降解有机污染物。实验结果表明,20 min 内对 RR 染料废水的降解率达 94.7%,重复使用 5 次后,降解率仍达 94%。通过在降解体系中加入氧化性活性物种捕获剂的方法,研究了 g- $C_3N_4/C_3Cl_3N_3$ 吸收可见光降解有机污染物的机理。

关键词 氮化碳;三聚氯氰;活性红(RR);可见光催化

中图分类号:0643.3

文献标识码:A

文章编号:1000-0518(2016)07-0820-07

DOI:10.11944/j.issn.1000-0518.2016.07.150356

近年来,随着工业化进程的加速,工业废水对环境的污染成为最严重的环境污染问题^[12]。以印染工业排放的染料废水为例,含偶氮染料的印染废水在微生物的存在下,可以生成芳香胺类致癌物质,对生态环境造成严重的影响。印染废水的处理方法包括絮凝、吸附、生物降解、光催化作用等。其中光催化降解有机污染物是一种清洁和可持续发展技术^[34],所以研究能够高效吸收可见光的新型光催化剂,直接利用太阳能处理工业废水,是降低废水处理成本、解决环境水污染问题的最有效的途径^[5-7]。

g- C_3N_4 是氮化碳材料的石墨相结构,C、N 原子通过 sp^2 杂化形成一个高度离域的 π 共轭电子能带结构,具有合适的导带(CB)和价带(VB)带边位置和禁带宽度,可以吸收可见光分解水^[89]。然而,g- C_3N_4 还存在一些缺点,如比表面积较小、带隙较宽、量子效率低,导致光催化活性低。为了提高g- C_3N_4 的光催化性能,探索出许多成功的合成方法,例如硬模板法、软模板法、金属掺杂^[10-12]、非金属掺杂(B、S、P、C 、O、F) [13-18] 等。

本文以双氰胺为原料、以三聚氯氰($C_3Cl_3N_3$)为改性剂,通过g- C_3N_4 表面的氨基与 $C_3Cl_3N_3$ 反应,有效拓展g- C_3N_4 的 π 共轭体系,研制出g- C_3N_4 / $C_3Cl_3N_3$ 复合型光催化剂;将催化剂放入强酸中搅拌使其质子化,制备g- C_3N_4 / $C_3Cl_3N_3$ (H^+)催化剂。以人工模拟的活性红(RR)染料废水为底物,考察光催化降解有机污染物的性能。研究结果表明,通过拓展g- C_3N_4 的 π 共轭体系,优化了能带结构,改善了光吸收性质、导电能力和表面形貌等,从而显著提高光催化降解有机污染物的活性。

1 实验部分

1.1 试剂和仪器

双氰胺,成都市科龙化工厂;四氢呋喃,浓硫酸,溴酸钾($KBrO_3$)、碘化钾(KI)、二甲亚砜(DMSO),对苯醌(BQ),均为分析纯试剂,天津市江天统一科技有限公司;三聚氯氰,天津越过化工有限公司;活性红(RR),所有实验用水均为二次蒸馏水。

D/Max2500pc 型衍射仪(XRD,日本 Rigaku 公司), $CuK\alpha$, $\lambda = 0.15418$ nm,扫描范围2 $\theta = 10^{\circ} \sim 80^{\circ}$;

Netzsch TG209F3 型热重分析仪(TG,苏州赛恩斯仪器有限公司),加热速度为10 ℃/min,N₂气气氛; u-3900h UV-Vis 型紫外-可见光谱仪(UV-Vis,日本日立公司);Pgeneral TU-1901 型 UV-Vis 漫反射光谱 (北京普析通用仪器有限责任公司),BaSO₄作为标准样品;Bruker TENSOR27 型红外光谱仪(IR,德国 Bruker 光谱仪器公司);s-520 型扫描电子显微镜(SEM,日本日立公司)。光电化学分析在三电极体系中进行,分别采用制备的电极、Pt 片及 Ag/AgCl 电极作为工作电极、对电极和参比电极,模拟自然光为光源,采用 Zahner 型电化学工作站(德国 Zahner 电化学公司)进行 Mott-Schottky(M-S)曲线测试。固体核磁采用 Varian Infinityplus 型 300 MHz 仪器(美国 Varian 公司)。降解采用北京普林塞斯科技有限公司 PL-X500L 型氙气光源。

1.2 实验方法

g-C₃N₄合成:参照文献[19]方法采用煅烧法制备。

g- $C_3N_4/C_3Cl_3N_3$ (H^+)复合光催化剂的制备:取 20 mL 四氢呋喃放入烧瓶中,加入g- C_3N_4 0.5 g、 $C_3Cl_3N_3$ 1 g,超声 30 min,在 48 $^{\circ}$ 化溶中反应 30 min。用 0.2 mol/L Na_2CO_3 调节溶液 pH 值为 6 ~ 7,继续在 48 $^{\circ}$ 水浴中搅拌 2 h,过滤,所得固体用乙醇和去离子水洗涤,得g- $C_3N_4/C_3Cl_3N_3$ 。将g- $C_3N_4/C_3Cl_3N_3$ 置于 pH = 1 的硫酸溶液中、室温下搅拌 48 h,用去离子水洗涤,在 60 $^{\circ}$ 真空干燥 12 h,得g- $C_3N_4/C_3Cl_3N_3$ (H^+)。

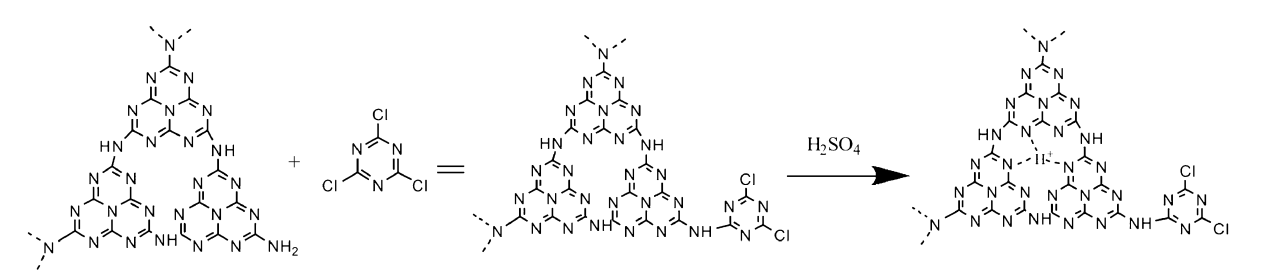
1.3 光催化活性

实验在配有 500 W 氙灯的光催化降解仪中进行。取 10 mg/L 的模拟 RR 染料废水 50 mL 于石英降解管中,加入g-C₃N₄/C₃Cl₃N₃(H⁺) 0.025 g,避光磁力搅拌 30 min,取样;打开氙灯光源,在磁力搅拌下,每隔 10 min 取 4 mL 的试液,经膜过滤在 534 nm 波长下测定吸光度。

2 结果与讨论

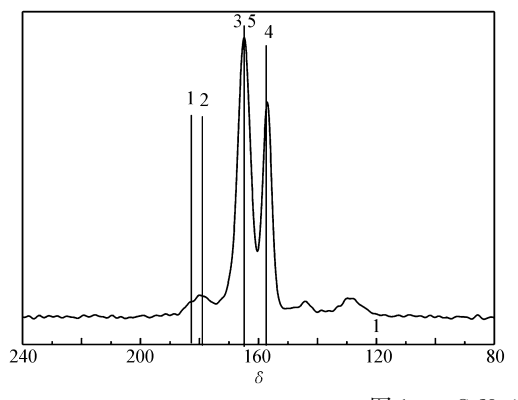
2.1 催化剂结构的表征

g-C₃N₄与 C₃Cl₃N₃共聚反应过程见 Scheme 1。



Scheme 1 Scheme for the preparation of the photocatalyst

g-C₃N₄/C₃Cl₃N₃(H⁺)的¹³C 谱图结果见图 1,在 δ 182 的信号属于三聚氯氰中的CN₂Cl,在 δ 178 的



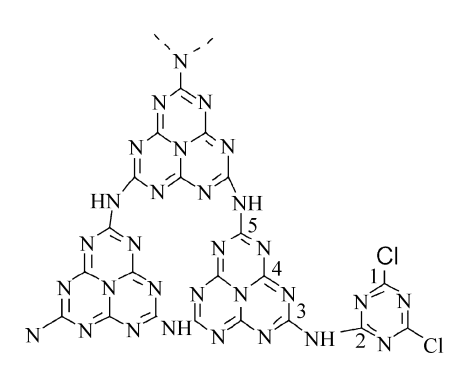


图 1 g-C₃N₄/C₃Cl₃N₃(H⁺)的¹³C 表征

Fig. 1 13 C NMR spectrum of g-C₃N₄/C₃Cl₃N₃(H⁺)

信号属于三聚氯氰中的 CN_2^- , 在 δ 164 的信号属于七嗪环的 $CN_2(NH)$, 3 和 5 由于化学环境基本相同,所以两峰重叠。在 δ 157 的信号属于七嗪环的 CN_3 , 对比g- C_3N_4 的 13 C 谱图 $^{[20]}$ 可知,g- C_3N_4 与 C_3 Cl $_3$ N $_3$ 进行了共聚反应。

g- C_3N_4 和g- C_3N_4 / C_3 C l_3N_3 (H^+)的 XRD 分析结果见图 2。结果表明,g- C_3N_4 最强的 XRD 峰在 2θ = 27. 70°可以对应(002)晶面,另一个明显的衍射峰在 2θ = 12. 876°可以对应(100)晶面 $^{[21]}$,所以样品可以确定是g- C_3N_4 。g- C_3N_4 / C_3 C l_3N_3 (H^+)样品的衍射峰在 2θ = 27. 75°,样品的衍射峰变弱,说明结晶有一定程度的破坏,但g- C_3N_4 的结构在反应后仍然保留。

g- C_3N_4 和g- C_3N_4 / $C_3Cl_3N_3$ (H^+)的 IR 分析结果 见图 3。810 cm $^{-1}$ 的振动吸收峰归于三嗪杂环的弯曲振动,1200~1650 cm $^{-1}$ 的振动吸收峰归于C—N 和 C—N 杂环化合物的伸缩振动,3000~3700 cm $^{-1}$ 的宽振动吸收峰归于残留的N—H的和吸附水分子

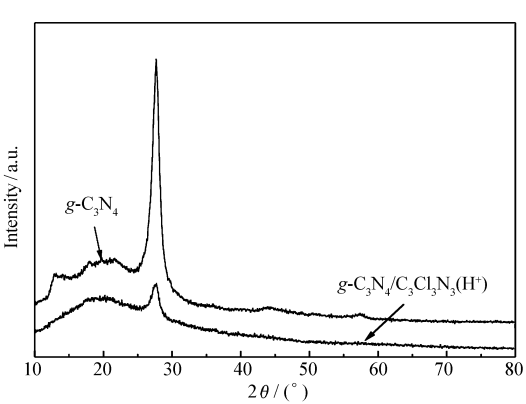


图 2 g- C_3N_4 和 g- $C_3N_4/C_3Cl_3N_3(H^+)$ 的 XRD 表征 Fig. 2 XRD patterns of g- C_3N_4 and g- $C_3N_4/C_3Cl_3N_3(H^+)$

的— $OH^{[22]}$ 。617 cm $^{-1}$ 振动吸收峰归于杂 6 元环(结构类似苯环)的 1,3,5 三取代特征峰,是 $C_3Cl_3N_3$ 的特征峰。

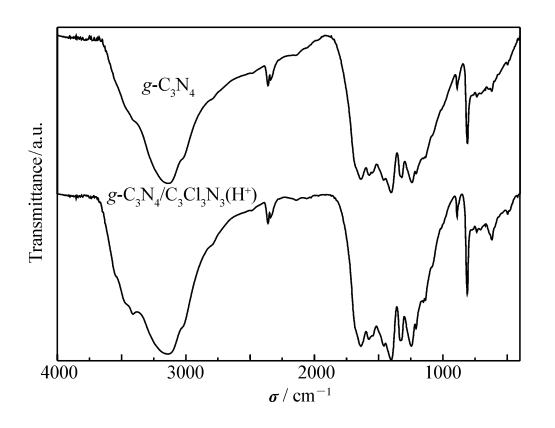


图 3 g-C $_3$ N $_4$ 和g-C $_3$ N $_4$ /C $_3$ Cl $_3$ N $_3$ (H $^+$)的 IR 表征 Fig. 3 FT-IR spectra of g-C $_3$ N $_4$ and g-C $_3$ N $_4$ /C $_3$ Cl $_3$ N $_3$ (H $^+$)

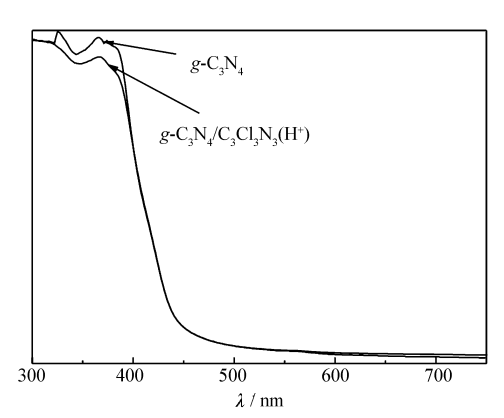


图 4 g- C_3N_4 和g- $C_3N_4/C_3Cl_3N_3$ (H^+)的紫外-可见 漫反射吸收光谱

Fig. 4 UV-Vis diffuse absorption spectra of g-C $_3$ N $_4$ and g-C $_3$ N $_4$ /C $_3$ Cl $_3$ N $_3$ (H $^+$)

g- C_3N_4 和g- C_3N_4 / $C_3Cl_3N_3$ (H^+)的 UV-Vis 漫反射吸收光谱分析见图 4。结果表明,最大吸收峰约在 456 nm。结合公式 $\alpha h\nu = A \left(h\nu - E_{\rm g}\right)^{n/2}$ 可以确定,g- C_3N_4 和g- C_3N_4 / $C_3Cl_3N_3$ (H^+)的带隙宽度是 2.7 ${\rm eV}^{[23]}$ 。

g-C₃N₄/C₃Cl₃N₃(H⁺)的 TG 分析结果见图 6。在 216 ℃ 的失重可以归因于催化剂上的吸附水的蒸

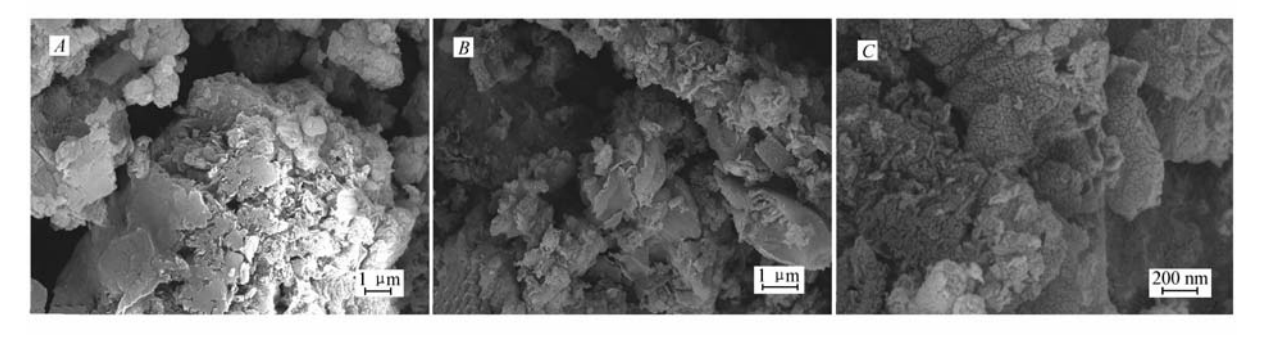


图 5 g-C₃N₄(A)、g-C₃N₄/C₃Cl₃N₃(B)和 g-C₃N₄/C₃Cl₃N₃(H⁺)(C)的 SEM 照片

 $\mbox{Fig. 5} \quad \mbox{SEM images of as-prepared } g\mbox{-}C_3\mbox{N}_4(A) \mbox{ , } g\mbox{-}C_3\mbox{N}_4/\mbox{C}_3\mbox{Cl}_3\mbox{N}_3(B) \mbox{ and } g\mbox{-}C_3\mbox{N}_4/\mbox{C}_3\mbox{Cl}_3\mbox{N}_3(H^+)\mbox{ } (C) \mbox{ } (C) \mbox{-} (C) \mbox{$

发(2.9%)。216.6~450.8 ℃之间的主要损失属于 $C_3Cl_3N_3$ 基的热分解(8.4%)。最后损失在 450~726 ℃之间归因于g- C_3N_4 的热分解(79.5%)。大约 750 ℃之后,材料的质量保持不变 $^{[24-25]}$ 。

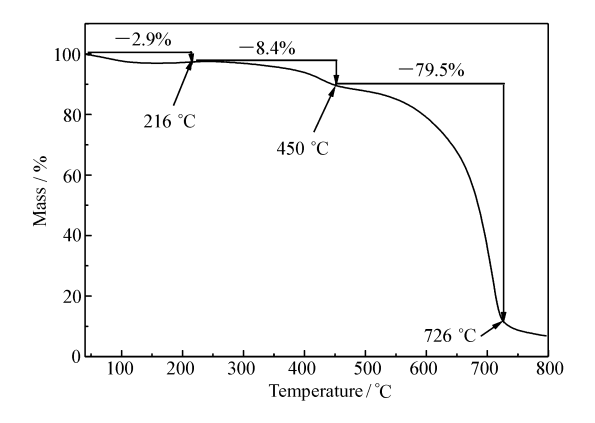


图 6 g-C₃N₄/C₃Cl₃N₃(H⁺)的TG表征 Fig. 6 TG of the catalyst of g-C₃N₄/C₃Cl₃N₃(H⁺)

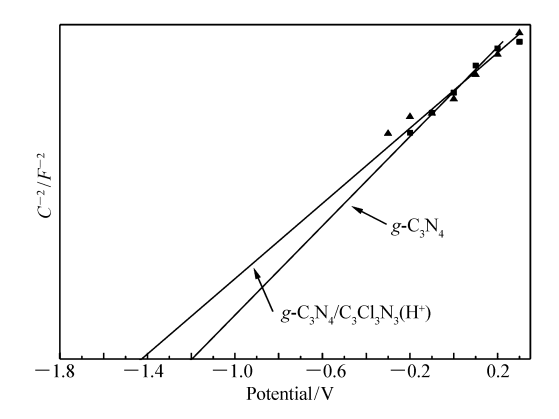


图 7 避光条件下 g-C₃N₄和 g-C₃N₄/C₃Cl₃N₃(H⁺) 的 Mott-Schottky 曲线

Fig. 7 Mott-Schottky plots of the g- C_3N_4 and g- C_3N_4 / $C_3Cl_3N_3$ (H^+) electrodes under dark condition

图 7 为 g- C_3N_4 和 g- C_3N_4 / C_3 Cl₃ N_3 (H⁺)的 Mott-Schottky 曲线图,用来深入考察催化剂的光电化学特性。首先,从图中横坐标的截距可以看出 g- C_3N_4 的 CB 约为 -1.2 V,g- C_3N_4 / C_3 Cl₃ N_3 (H⁺)的 CB 约为 -1.45 V,结合图 4,可以得出 g- C_3N_4 的 VB 约为 +1.5 V,g- C_3N_4 / C_3 Cl₃ N_3 (H⁺)的 VB 约为 +1.25 V,结果表明,g- C_3N_4 / C_3 Cl₃ N_3 (H⁺)催化剂的带隙上移,增加了其光生电荷的还原能力($E_{(0_2/\cdot 0^2-)}$ = -0.155 V^[26])。

2.2 催化剂活性的评价

以 RR 染料模拟废水为底物, 考察 g-C₃N₄和 g-C₃N₄/C₃Cl₃N₃(H⁺) 的光催化活性, 结果见图 8。结果表明, 不添加光催化剂的 RR 溶液在可见光照射 100 min 后的吸光度没有明显减小, 表明 RR 稳定, 难以直接被可见光降解。加入不同结构催化剂, RR 降解率有很大差别。以降解 20 min 为例, g-C₃N₄/C₃Cl₃N₃(H⁺)对 RR 降解率达 94. 7%, g-C₃N₄/C₃Cl₃N₃为 73. 8%, g-C₃N₄ 仅为 5. 9%。

g-C₃N₄/C₃Cl₃N₃(H⁺)的重复使用效果见图 9。结果表明,随着 g-C₃N₄/C₃Cl₃N₃(H⁺)使用次数的增加,RR 降解率下降缓慢,5 次循环使用后,降解率仍为 94%。

2.3 光催化降解机理

分别以 KBrO₃、KI、二甲亚砜(DMSO)和苯醌(BQ)作为电子、空穴、·OH 和·O₂⁻ 捕获剂,考察光催化剂降解 RR 历程,实验结果见图 10。由图 10 可知,加入 BQ 后,RR 的降解被显著的抑制,表明 g-C₃N₄/C₃Cl₃N₃(H⁺)降解 RR 的主要氧化性物种是·O₂⁻;空穴作为活性物种也发挥了一定的作用;加入 KBrO₃、

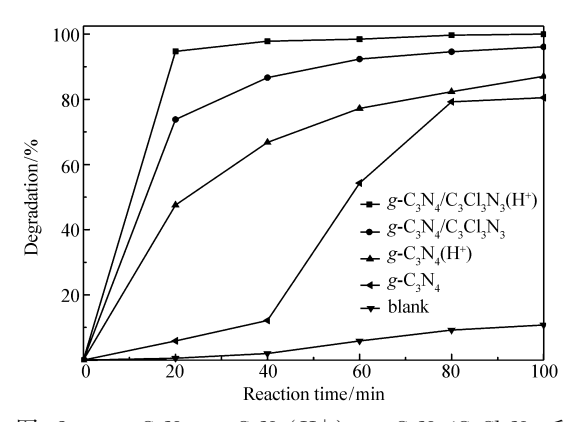


Fig. 8 Photocatalytic decolorization behaviors of reactive red over $g\text{-}C_3\,N_4$, $g\text{-}C_3\,N_4$ (H^+), $g\text{-}C_3\,N_4/C_3\,Cl_3\,N_3$, $g\text{-}C_3\,N_4/C_3\,Cl_3\,N_3$ (H^+)

DMSO 后,基本不影响 RR 的降解,推论降解历程如下[27]:

$$g-C_3N_4/C_3Cl_3N_3 + h\nu \longrightarrow (g-C_3N_4/C_3Cl_3N_3)^*$$
$$(g-C_3N_4/C_3Cl_3N_3)^* + O_2 \longrightarrow h^+ + O_2^-$$
$$\cdot O_{2-} + h^+ + RR \longrightarrow CO_2 + H_2O$$

根据上述降解历程,g- $C_3N_4/C_3Cl_3N_3(H^+)$ 复合 光催化剂降解 RR 原理如图 11 所示。在 g- $C_3N_4/C_3Cl_3N_3(H^+)$ 共轭聚合物中存在吸电子的 Cl 原子,由于 Cl 原子的电负性大于 C 原子和 N 原子,导致电子云强烈偏向含有 Cl 的 $C_3Cl_3N_3$ 分子,有效拓展 g- C_3N_4 的 π 共轭体系,改变电子的能带结构,利于空间电荷分离。g- $C_3N_4/C_3Cl_3N_3(H^+)$ 共聚后使带隙位置上移,使电子更容易与氧气反应,生成具有强氧化性的 \cdot O_2 -,增加了 g- $C_3N_4/C_3Cl_3N_3(H^+)$ 的降解有机污染物的能力。

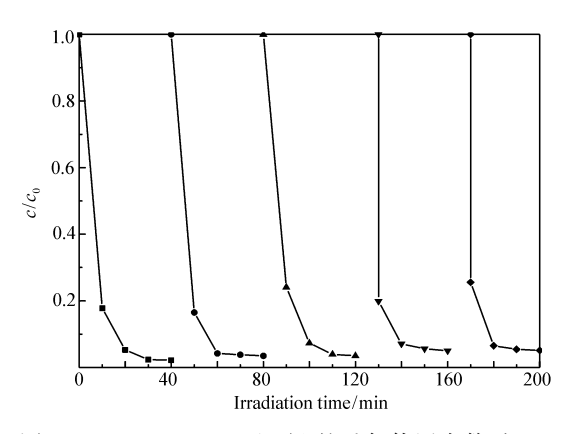


图 9 g- $C_3N_4/C_3Cl_3N_3(H^+)$ 的重复使用次数对 RR 降解效果的影响

Fig. 9 Repeated runs of reactive red decolorization by g-C₃N₄/C₃Cl₃N₃(H $^+$)

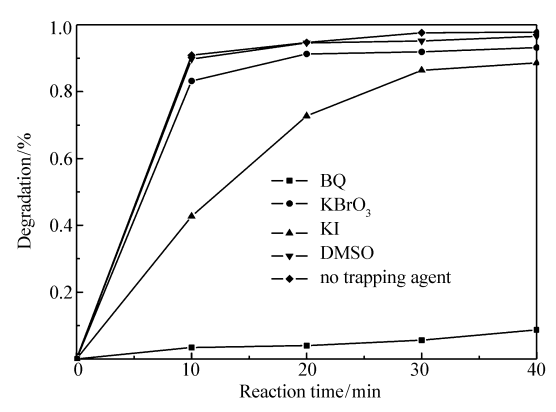
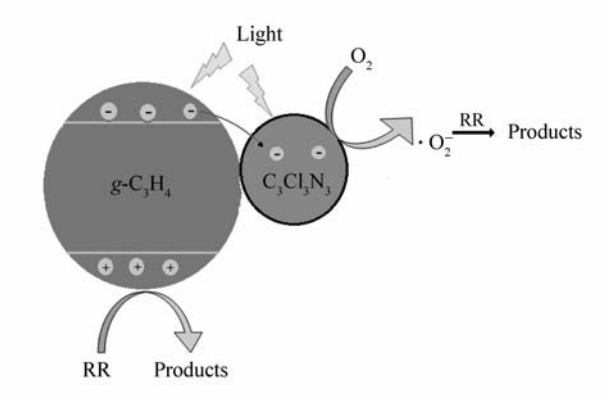


图 10 捕获剂对 g- C_3 N_4 / C_3 Cl_3 N_3 (H^+) 降解 RR 的影响

Fig. 10 Effects of different scavengers on the reactive red over g-C₃N₄/C₃Cl₃N₃(H $^+$)



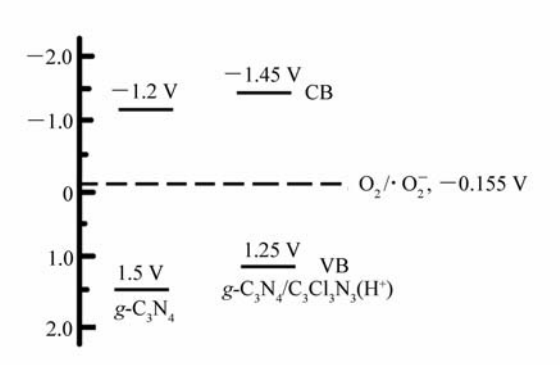


图 11 g-C₃N₄/C₃Cl₃N₃(H⁺)催化剂在可见光下降解 RR 的原理图

Fig. 11 Schematic diagram of reactive red degradation over g- $C_3N_4/C_3Cl_3N_3$ (H^+) composite photocatalyst under visible light irradiation

3 结 论

本文研制的复合光催化剂 g- $C_3N_4/C_3Cl_3N_3(H^+)$ 在可见光作用下催化活性显著高于 g- C_3N_4 ,20 min 内对 RR 的降解率可达 94.7%;5 次循环使用后,降解率仍为 94%。进一步研究表明,经过 $C_3Cl_3N_3$ 改性后所生成的聚合物 g- $C_3N_4/C_3Cl_3N_3(H^+)$ 中存在 Cl 原子,同时分子的共轭度和刚性增加,提高了分子的共平面性,导致在可见光照射下电子从 g- C_3N_4 转移到 $C_3Cl_3N_3$ 的吸电子基团 Cl 原子上,改变电子的能带结构,带隙位置上移,使电子更容易与氧气反应,生成具有强氧化性的 $\cdot O_2^-$,显著提高了g- $C_3N_4/C_3Cl_3N_3(H^+)$ 的可见光吸收能力和降解有机污染物的能力,因此,g- $C_3N_4/C_3Cl_3N_3(H^+)$ 在治理染料废水有机污染物领域具有潜在的应用前景。

参考文献

- [1] Wang X C, Maeda K, Thomas A, et al. Ametal-Free Polymeric Photocatalyst for Hydrogen Production from Water under Visible Light[J]. Nat Mater, 2009, 8(1):76-80.
- [2] Wang Y F, Gao B Y, Yue Q Y, et al. Flocculation Performance of Epichlorohydrin-Dimethylamine Polyamine in Treating Dyeing Wastewater[J]. Environ Manage, 2009, 1(2):423-431.
- [3] Zhang F J, Xie F Z, Zhu S F, et al. A Novel Photofunctional g-C₃N₄/Ag₃PO₄ Bulk Heterojunction for Decolorization of RhB [J]. Chem Eng, 2013, 28(15):435-441.
- [4] Mitoraj D, Kisch H. On the Mechanism of Urea Induced Titania Modification [J]. Chem Eur, 2010, 16(1): 261-269.
- [5] He P Z, Song L M, Zhang S J, et al. Synthesis of g-C₃N₄/Ag₃PO₄ Heterojunction with Enhanced Photocatalytic Performance [J]. Mater Res Bull, 2014, 51(6):432-437.
- [6] Xu H, Yan J, Xu Y G, et al. Novel Visible-Light-Driven AgX/Graphite-Like C₃N₄ (X = Br, I) Hybrid Materials with Synergistic Photocatalytic Activity [J]. Appl Catal B; Environ, 2013, 129:182-193.
- [7] Meng Y L, Shen J, Chen D, et al. Photodegradation Peoformance of Methylene Blue Aqueous Solution on Ag/g-C₃N₄ Catalyst[J]. Rare Met, 2011, 30(1):276-279.
- [8] Wang X C, Blechert S, Antonietti M. Polymeric Graphitic Carbon Nitride for Heterogeneous Photocatalysis [J]. ACS Catal, 2012, 2(8):1596-1606.
- [9] Maeda K, Wang X C, Nishihara D, et al. Photocatalytic Activities of Graphitic Carbon Nitride Powder for Water Reduction and Oxidation under Visible Light[J]. Phys Chem, 2009, 113(12):4940-4947.
- [10] Wang X C, Thomas A, Fu X Z, et al. Metal-Containing Carbon Nitride Compounds: A New Functional Organic-Metal Hybrid Material [J]. Adv Mater, 2009, 21 (16): 1609-1612.
- [11] Fu X Z, Wang X C, Antonietti M, et al. Fe-g-C₃N₄-Catalyzed Oxidation of Benzene to Phenol Using Hydrogen Peroxide and Visible Light[J]. J Am Chem Soc, 2009, 131(33):11658-11659.
- [12] Ding Z X, Wang X C, Antonietti M, et al. Synthesis of Transition Metal-Modified Carbon Nitride Polymers for Selective Hydrocarbon Oxidation[J]. ChemSusChem, 2011, 4(2):274-281.
- [13] Yan S C, Li Z S. Photodegradation of Rhodamine B and Methyl Orange over Boron-Doped g-C₃N₄ under Visible Light Irradiation [J]. Langmuir, 2010, 26(6):3894-3901.
- [14] Liu G, Niu P, Smith S, et al. Unique Electronic Structure Induced High Photoreactivity of Sulfur-Doped Graphitic C₃N₄ [J]. J Am Chem Soc, 2010, 132(33):11642-11648.
- [15] Zhang Y J, Mori T, Antonietti M, et al. Phosphorus-Doped Carbon Nitride Solid: Enhanced Electrical Conductivity and Photocurrent Generation [J]. J Am Chem Soc, 2010, 132(18):6294-6295.
- [16] Dong G H, Zhao Kun, Zhang L Z, et al. Carbon Self-Doping Induced High Electronic Conductivity and Photoreactivity of g-C₃N₄[J]. Chem Commun, 2012, 48 (49):6178-6180.
- [17] Li J H, Shen B, Chen Y L, et al. A Facile Approach to Synthesize Novel Oxygen-Doped g-C₃N₄ with Superior Visible-Light Photoreactivity [J]. Chem Commun, 2012, 48(98); 12017-12019.
- [18] Wang Y, Antonietti M, Wang X C, et al. Excellent Visible Light Photocatalysis of Fluorinated Polymeric Carbon Nitride Solids [J]. Chem Mater, 2010, 22 (18):5119-5121.
- [19] Niu P, Zhang L L, Liu G, et al. Graphene-Like Carbon Nitride Nanosheets for Improved Photocatalytic Activities [J]. Funct Mater, 2012, 21 (22):4763-4770.
- [20] Bettina V, Sehnert J, Seyfarth L, et al. Unmasking Melon by a Complementary Approach Employing Electron Diffraction, Solid-State NMR Spectroscopy, and Theoretical Calculations-Structural Characterization of a Carbon Nitride Polymer [J]. Chem Eur, 2007, 13(17):4969-4980.

- [21] Jing D L, Chen L L, Xie J M, et al. Ag₂S/g-C₃N₄ Composite Photocatalysts for Efficient Pt-Free Hydrogen Production [J]. Dalton Trans, 2014, 43 (12);4878-4885.
- [22] DONG Fan, LI Yuhan, HO Wingkei, et al. Synthesis of Mesoporous Polymeric Carbon Nitride Exhibiting Enhanced and Durable Visible Light Photocatalytic Performance[J]. Chinese Sci Bull, 2014, 59(7):688-698 (in Chinese). 董帆,李昱翰,何咏基博,等. 增强和持久可见光催化性能的介孔聚合物碳氮化物的合成[J]. 中国科学通报, 2014, 59(7):688-698.
- [23] Wang S M, Li D L, Sun C, et al. Synthesis and Characterization of g-C₃N₄/Ag₃VO₄Composites with Significantly Enhanced Visible-Light Photocatalytic Activity for Triphenylmethane Dye Degradation [J]. Appl Catal B: Environ, 2014, 144(2):885-892.
- [24] Chu S, Wang Y, Guo Y, et al. Band Structure Engineering of Carbon Nitride: In Search of a Polymer Photocatalyst with High Photooxidation Property [J]. ACS Catal, 2013, 3(5):912-919.
- [25] Li X F, Zheng J, Shen L H, et al. Preparation and Characterization of Graphitic Carbon Nitride through Pyrolysis of Melamine [J]. Appl Phys, 2009, 94(2):387-392.
- [26] LU Changyuan, HAN Zhenhui, PAN Jingxi, et al. Riboflavin(vitamin B₂) Photochemical Activity: The Potential Biological Effects of Light Particles[J]. J Radiat Res Radiat Process, 2000, 2(1):12-18(in Chinese). 陆长元, 韩镇辉,潘景喜,等. 核黄素(维生素 B₂)的光化学活性粒子: 潜在的光生物学效应[J]. 辐射研究与辐射工艺学报, 2000, 2(1):12-18.
- [27] Cao J, Zhao Y J, Lin H L, et al. Ag/AgBr/g-C₃N₄: A Highly Efficient and Stable Composite Photocatalyst for Degradation of Organic Contaminants under Visible Light[J]. Mater Res Bull, 2013, 48(10): 3873-3880.

Synthesis and Photocatalytic Activity of Graphitic Carbon Nitride/Cyanuric Chloride Composite Photocatalyst

ZHANG Xiaonan, SUN Yudong, LI Naixuan*

(Chemistry and Chemical Engineering College, Tianjin University of Technology, Tianjin 300384, China)

Abstract A graphitic carbon nitride/cyanuric chloride (g- $C_3N_4/C_3Cl_3N_3$) composite photocatalyst was developed. The obtained catalyst effectively expands π -conjugated system of g- C_3N_4 . Moreover, the band gap is significantly shifted, and the reduction ability of the photo generated charge is improved because of the introduction of a chlorine atom. The catalyst can effectively degrade organic pollutants under visible light. The result shows that the degradation ratio of reactive red-dye is 94.7% and is still kept at 94% after using 5 times. The mechanism on the degradation of organic pollutants under visible light was studied.

Keywords graphitic carbon nitride; cyanuric chloride; reactive red; visible light catalysis